

フルクトースの甘味の温度依存性に関する研究

野内 陽向[†]、山口 悟^{†*}

[†]茨城県立日立第一高等学校 化学部 〒317-0063 茨城県日立市若葉町3丁目15番1号
(2025年7月11日 受付; 2025年7月31日 受理)

Abstract

フルクトースの甘味は大きな温度依存性を示す。本研究では、NMRスペクトル測定と分子軌道法計算から、フルクトースの分子構造に着目し、それが甘味に与える影響について評価した。

フルクトースは5つの平衡構造をとることができる。¹H-および¹³C-NMRスペクトル測定とRHF/6-31G(d)レベルの分子軌道法計算より、その5つの中で、 α -フルクトピラノース “ α -FP” および直鎖構造のフルクトース “CS-Fru”的生成比は非常に小さく、甘味には大きく関与しないことが示唆された。本研究より、フルクトースの甘味の大きな温度依存性は、甘味が最も大きいとされている β -フルクトピラノース “ β -FP”的分子内の振動・回転運動が激しくなることによる、 β -FPの配座のわずかな変化に起因することが示唆された。

Introduction

糖とは水に溶けやすく、甘味のある炭水化物である。フルクトースは化学式 $C_6H_{12}O_6$ で表される代表的な单糖であり、糖の中で最も甘味が強いと言われている¹)。糖の甘味を評価する際、甘味度と呼ばれる指標がある²)。甘味度は人間の舌による官能評価で判定され、同じ温度のスクロース水溶液の甘さを1としたときの相対値で甘さを表す方法である。

同じ化学式をもつ单糖として、グルコース、ガラクトースおよびマンノースが有名である。一般的に、糖と言えば強い甘味を持つというイメージがあるが、ガラクトースやマンノースなどは甘味が弱い。図1に、文献3)を参考に作成したスクロース、フルクトース、グルコースおよびガラクトースの甘味度の温度変化を示した。図の縦軸は甘味度を表し、横軸は温度を表している。図1より、フルクトースは温度が5°C付近では甘味度が1.5であったが、60°Cまで上昇すると0.8と甘味度が大きく変化する。一方、図1に示したよう

に、他の单糖であるスクロース、グルコース、ガラクトースにおける甘味度の温度依存性は小さい。このようなフルクトースの甘味は温度依存性があることはいくつかの報告がある^{1),4)}。

さらに、フルクトースは図2に示した2つの六員環構造の α -フルクトピラノース “ α -FP” および β -フルクトピラノース “ β -FP”、直鎖構造のフルクトース “CS-Fru”、そして2つの五員環構造の α -フルクトフラノース “ α -FF” および β -フルクトフラノース “ β -FF”的、計5つの平衡構造をとることがわかっている。

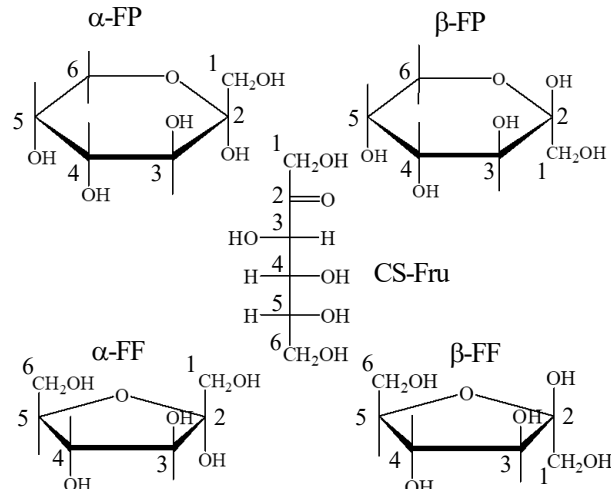


図2 フルクトースの5つの平衡構造 六員環構造の α -フルクトピラノース “ α -FP” および β -フルクトピラノース “ β -FP”、直鎖構造のフルクトース “CS-Fru”、そして五員環構造の α -フルクトフラノース “ α -FF” および β -フルクトフラノース “ β -FF”

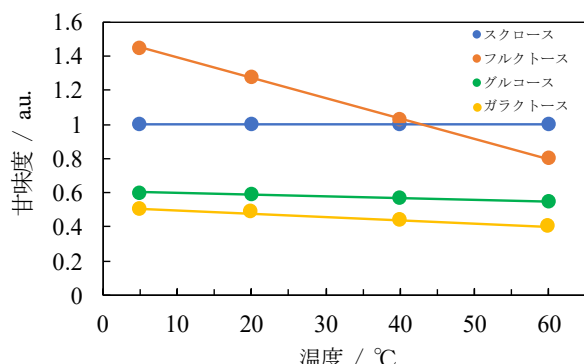


図1 甘味度と温度との関係

* Corresponding author. e-mail address: ymgtstr@***.aol.jp

*** = aol.jp

Present address: 茨城県立高萩清松高等学校
〒318-0001 茨城県高萩市赤浜1864番地

図3に、文献5)に報告されている5つの平衡構造 (β -FP、 β -FF、 α -FP、 α -FF、CS-Fru) の存在比を示した。図の横軸が温度、縦軸が各平衡構造の存在比を示している。図1に示したフルクトースの甘味の温度依存性は、図3に示したように最も甘味が強い β -フルクトピラノースの存在比が60°Cで最も高くなることを示す。

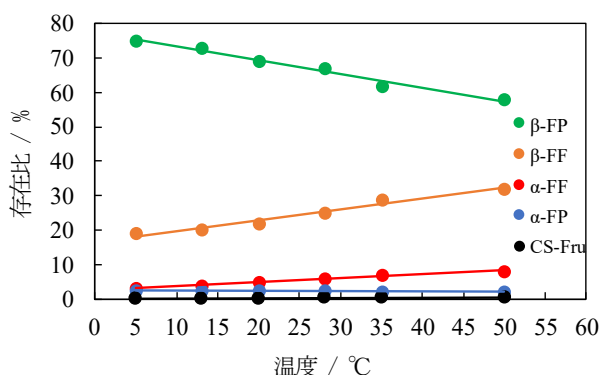


図 3 5 つの平衡構造である β -フルクトピラノース “ β -FP” および β -フルクトフラノース “ β -FF”、 α -フルクトフラノース “ α -FF” および α -フルクトピラノース “ α -FP”、そして直鎖構造のフルクトース “CS-Fru” の存在比の温度依存性

ラノース β -FP が温度上昇に伴い減少することで起こること報告されている⁴⁾。しかしながら、図 1 では温度上昇とともに甘味度は約 50% 減少したが、図 3 において β -FP の存在率はわずか 15% の減少であった。したがって、フルクトースの甘味度に関しては温度上昇によるその平衡構造の変化だけで説明するのは難しいと考えられる。

そこで本研究では、フルクトースの甘味について、NMR スペクトル測定と分子軌道法計算から、フルクトースの配座に着目し、それが甘味に与える影響について評価した。

Experimental

測定装置およびプログラム

NMR スペクトル測定装置(ADVANCE III 400 Bruker 製 400MHz)、量子化学計算パッケージ(GAMESS)、ウェブインターフェースアプリケーション(WebMO)⁶⁾

試薬

フルクトース(関東化学 鹿特級)、重アセトン(関東化学 NMR 用)、重水(関東化学 NMR 用)

フルクトースの NMR 測定と存在比の算出

茨城大学工学部のご支援のもと、フルクトースの¹H-NMR および¹³C-NMR スペクトル測定を行った。溶媒には重水を用い、標準試料には重アセトンを用いた。サンプル管に 0.86 mol/L のフルクトース重水溶液を加え、5°C ずつ温度を変えながら、20°C から 45°C の NMR スペクトル測定を行った。重アセトンのメチル基の化学シフト値 “δ” (29.4 ppm) を基準にスペクトルを解析した。文献 5)を参考にし、¹H-NMR スペクトルからフルクトースの α -FF、 β -FF および β -FP の存在比を 1 位の炭素 “C1” 原子に結合している水素 H¹ 原子由

來の化学シフト δ 値それぞれ、3.55 ppm、3.40 ppm および 3.45 ppm におけるピークの積分強度から算出した。 α -FP と CS-Fru の存在比を 4 位の炭素 “C4” 原子に結合している H⁴ 原子由來の δ 値それぞれ、3.85 ppm および 3.80 ppm におけるピークの積分強度から算出した。

フルクトースの分子軌道計算

WebMO 上で、GAMESS を用い、フルクトースの分子軌道計算を行った。水溶媒中のフルクトースを RHF/6-31G(d) レベルで構造最適化し、NMR スペクトルを算出した。

Results and Discussion

甘味とフルクトースの平衡構造との関係

図 4 に、¹H-NMR スペクトル測定より得られた β -FP、 β -FF および α -FF の存在比の温度依存性を示した。図の横軸が温度、縦軸が各平衡構造の存在比を示している。図 3 と図 4 との比較より、本研究からも文献 5) に報告されているような温度の上昇とともに β -FP の存在比が減少し、 β -FF および α -FF の存在比がわずかに上昇するといった傾向を確認できた。また、本実験での¹H-NMR スペクトル測定において α -FP と CS-Fru のそれぞれ、3.85 ppm および 3.80 ppm における H⁴ 原子由來の信号は、S/N 比が悪いため見つけることができなかった。しかしながら、図 3 に示した文献 5) においても α -FP および CS-Fru の存在比は非常に小さな値であり、私たちの結果を支持していると考えられる。したがって、フルクトースの平衡構造において、 α -フルクトピラノース “ α -FP” および直鎖構造のフルクトース “CS-Fru” の構造はその甘味には大きく関与しないことが示唆された。

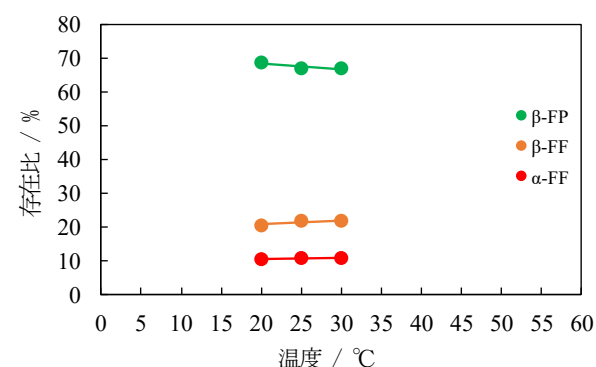


図 4 ¹H-NMR 測定より得られた β -フルクトピラノース “ β -FP”、 β -フルクトフラノース “ β -FF” および α -フルクトフラノース “ α -FF” の存在比の温度依存性

フルクトースの final heat of formation

図5に、図2に示したフルクトースの5つの平衡構造の final heat of formation (計算から得られた標準生成エンタルピー ΔH°)を示した。計算はRHF/6-31G(d)レベルで行った。その際、5つの平衡構造において初期構造を複数回変化させ、構造最適化を行い、最も小さな ΔH° をもつ構造を選択した。図5より、フルクトースの5つの平衡構造において、最も存在比の大きいβ-フルクトピラノース “β-FP”が最も小さな ΔH° の値を取ることが分かった。また、図3において存在比が小さく、私たちの測定ではS/N比が悪いためその確認できなかったα-FPとCS-Fruの ΔH° はそれぞれ最も大きな値と2番目に大きな値を取ることがわかった。

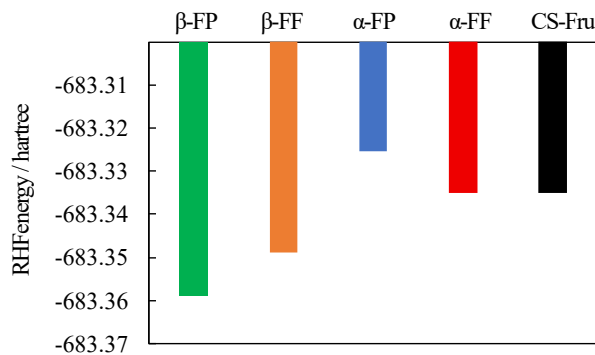


図5 フルクトースの5つの平衡構造の final heat of formation (計算から得られた標準生成エンタルピー ΔH°) 六員環構造のα-フルクトピラノース “α-FP”およびβ-フルクトピラノース “β-FP”、直鎖構造のフルクトース “CS-Fru”、そして五員環構造のα-フルクトフラノース “α-FF”およびβ-フルクトフラノース “β-FF”

$^{13}\text{C-NMR}$ および $^1\text{H-NMR}$

図6に一例として、20°C (黒色)と45°C (橙色)における0.86 mol/L フルクトース重水溶液の $^{13}\text{C-NMR}$ スペクトルを示した。図6に示したスペクトルはβ-FFとα-FFにおけるC¹原子とC⁶原子に由来する化学シフトδのピーク値 (63 ppm付近)である。図6より、20°Cから45°Cと温度の上昇とともに、β-FFとα-FFにおけるそれらのδのピーク値が低磁場側にシフトし、それらのピーク値における線幅がブロードになることがわかった。また、20°C (黒色)と45°C (橙色)における $^{13}\text{C-NMR}$ スペクトルを比較すると、45°Cのスペクトルの

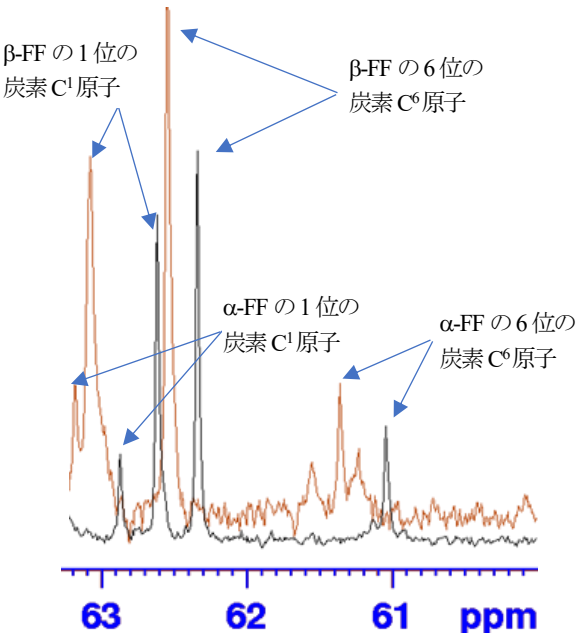


図6 20°C (黒色)と45°C (橙色)におけるβ-FFとα-FFの $^{13}\text{C-NMR}$ スペクトル

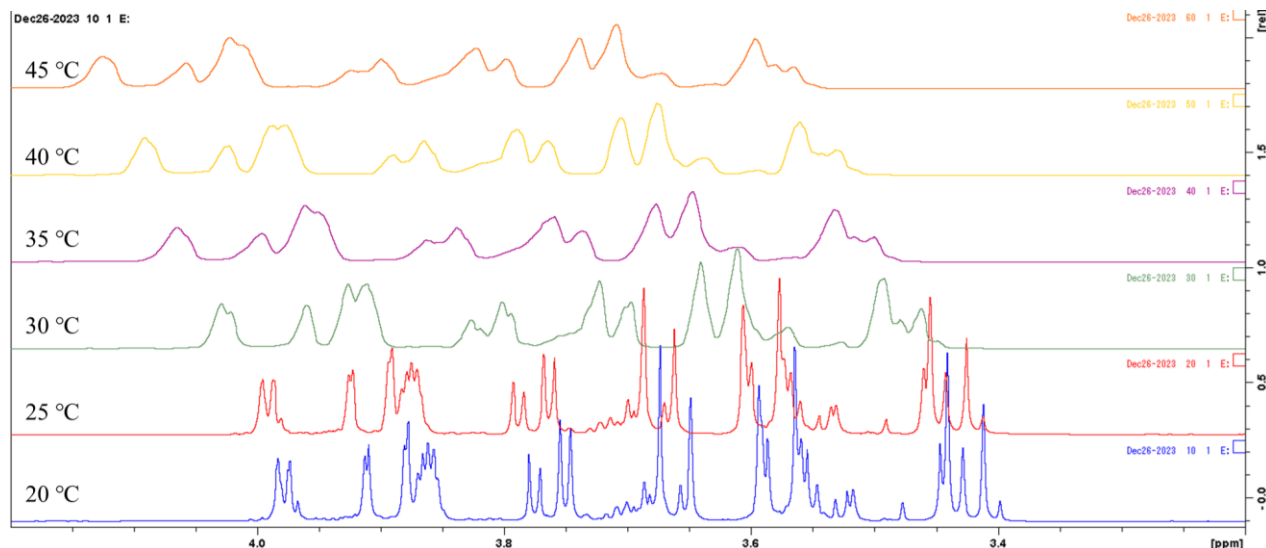


図7 温度を20°Cから45°Cまで5°Cずつ変化させたときの0.86 mol/L フルクトース重水溶液の $^1\text{H-NMR}$ スペクトル

方がS/N比が悪い。それは温度の上昇による核スピンのボルツマン分布や緩和時間“ T_1 ”の変化、熱雑音などに起因するものである。

図7に、温度を20°Cから45°Cまで5°Cずつ変化させたときの0.86 mol/Lフルクトース重水溶液の¹H-NMRスペクトルを示した。図6に示した¹³C-NMRスペクトルと同様に、温度の上昇に伴い観測された¹H-NMRスペクトルの全ての化学シフト δ のピークの値が低磁場側にシフトし、それらピークの線幅がブロードになることがわかった。一方、温度が上昇してもスペクトルのS/N比は変化しなかった。S/N比の変化のない理由は、炭素¹³C原子に比べて、水素¹H原子の天然存在比が大きいためである。改めて、天然存在比の違いを確認できた。

フルクトースの化学シフト“ δ ”の理論値の算出

図8に、 β -フルクトピラノース β -FPの(A)最安定構造、(B)3位の炭素“C³”原子に結合したヒドロキシ“OH”基の向きを変化させた準安定構造、(C) C³原子と4位の炭素“C⁴”原子に結合するOH基の向きを変化させた準安定構造、(D)(A)を環反転した準安定構造および(E)5位の炭素“C⁵”原子に結合するOH基の向きを変化させた準安定構造を、ポール&スティックモデルで表現した分子構造を示した。図8に示した構造はほんの一例であり、 β -FPに関して、10種類の準安定構造が確認できた。もし β -FPの準安定構造を探索するのであれば、感覚的ではあるが非常に多くの数になると考えられる。

図9に、RHF/6-31G(d)レベルの計算から得られた、最安定構造の β -FP(図8の(A)に示した分子構造)におけるC⁴原子に結合している水素“H⁴”原子のNMR信号を示した。その3.5 ppmの信号は、隣接するC³原子とC⁵原子に結合した2つのH原子のため、ピークの形状はトリプレットとなることも確認できた。

図10は、図8に示した最安定構造(A)と4つの準安定構造(B)～(E)の合計5つの β -FPにおけるH⁴原子のNMR信号を示している。また図10において、図9と同様に、それらの信号の化学シフト“ δ ”値は異なるが全てトリプレットのピークとなった。図10より、 β -FPの分子構造においてC³原子、C⁴原子およびC⁵原子に結合したOH基のH原子の向きが異なることにより、最安定構造(A)のH⁴原子の3.5 ppmのトリプレットのピークがそれぞれ、(D)や(E)の構造に変化すると低磁場側へシフトし、(C)や(B)の構造に変化すると高磁場側にシフトすることがわかった。つまり、 β -FPにおいて、そのわずかな分子構造の変化にともないH⁴原子のNMR信号の数が増えることがわかった。温度を20°Cから45°Cへ上昇させることにより、フルクトースだけでなく一般的に有機化合物の分子内振動運動や分子内回転運動が激しくなり、最安定な構造だけでなく、多

くの準安定な構造にも変化する。その構造変化による化学交換により特定の原子の化学シフト値が変化する場合、交換速度がNMRの時間分解能よりも速いと、複数の信号として観測されるのではなく、それらの平均的な化学シフト値を持つ单一の信号として観測される。その結果として、特定のピークの線幅がブロードになると考えられる。したがって、図6と図7のNMRスペクトルのブロード化はそのような化学交換より引き起こされることが示唆された。

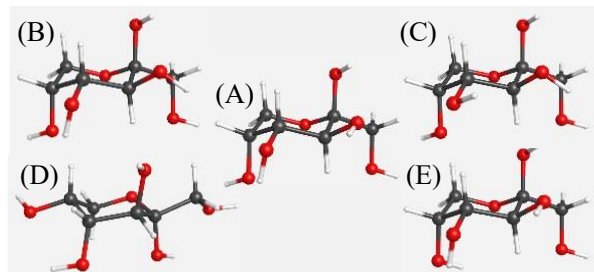


図8 WebMO上で計算した β -フルクトピラノース β -FPの(A)最安定構造、(B)C³原子に結合したOH基の向きを変化させた準安定構造、(C)C³原子とC⁴原子に結合するOH基の向きを変化させた準安定構造、(D)(A)を環反転した準安定構造、(E)C⁵原子に結合するOH基の向きを変化させた準安定構造をボール&スティックで表現した構造図

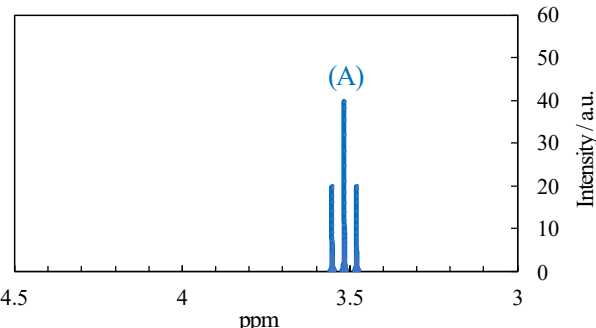


図9 計算より得られた(A) β -FP の最安定構造におけるH⁴原子のNMR信号

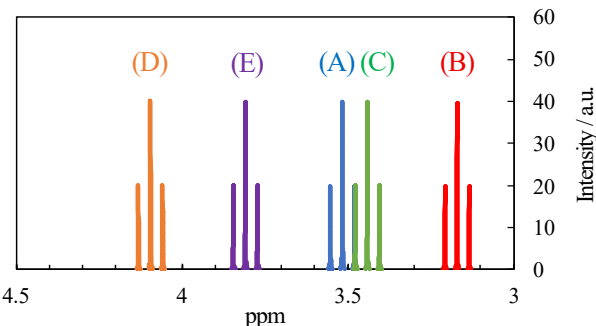


図10 計算より得られた β -FPの(A)から(E)の分子構造におけるH⁴原子のNMR信号

さらに、図6と図7より、温度の上昇とともにNMRスペクトルのピークが全体的に低磁場側にシフトすることがわかった。図8、図9および図10より、温度の上昇とともに β -FPの構造において多くの準安定構造をとることも示唆された。温度の上昇に伴い、フルクトースの分子内振動や分子内回転運動が活発になる。これにより、配座の変化や環反転、あるいは環構造の歪みが生じやすくなる。その結果、分子内相互作用の変化によりプロトンの遮蔽効果が低下し、フルクトースのNMRスペクトルにおいて、シグナルが低磁場側にシフトすると考えた。

Conclusions

フルクトースは温度変化に伴い、5つの大きな平衡構造をとることができる。本研究からその5つの平衡構造において α -フルクトピラノース“ α -FP”および直鎖構造のフルクトース“CS-Fru”は生成比が非常に小さく、それらは甘みには大きく関与しないことが示唆された。さらに本研究から、フルクトースの甘味度の大きな温度依存性は、甘味が最も大きいとされる β -フルクトピラノース“ β -FP”的分子内の振動・回転運動が激しくなることによる β -FPのわずかな配座の変化や、小さな環構造の歪みに起因することが示唆された。したがって、フルクトースの甘味の強い温度依存性はフルクトースの分子構造に深く関係していることが示唆された。

References

- 1) 浜島書店, 二訂版ニューステージ化学図表, 250-251, (2024).
- 2) 甘味度, 独立行政法人農畜産業振興機構のURL:
https://www.alic.go.jp/koho/kikaku03_000994.html
- 3) 前橋 健二, 日本醸造協会誌 **106**(12), 818-825, (2011).
- 4) 石川 伸一, 化学と教育 **67**(8), 372-373, (2019).
- 5) Thomas Barclay, Milena Gimic-Markovic, Martin R Johnston, Peter Cooper, Nikolai Petrovsky, *Carbohydrate Research* (2012), **347**(1), 136-141.
- 6) WebMO: <https://www.webmo.net/>

Acknowledgement

NMR測定につきましては、茨城大学理工学研究科の福元 博基 教授にご協力およびご指導いただきました。量子化学計算につきましては、千葉工業大学応用化学科の山本典史 教授にご協力およびご指導いただきました。両先生方には、この研究を進めるにあたり多大なご支援を賜りましたこと、心より感謝申し上げます。